

INTERACTION CONTEXTS IN SOCCER: DETECTION OF T-PATTERNS

Javier Chavarri¹, Oleguer Camerino, M. Teresa Anguera³, Ángel Blanco-Villaseñor³ & José Luis Losada³

¹ Instituto Nacional de Educação Física de Lleida – Centre de Lleida (España)

² Instituto Nacional de Educação Física de Lleida – Universidade de Lleida (España)

³ Facultad de Psicología – Universidad de Barcelona (España)

This paper presents a study on the detection of temporal patterns in professional football. Traditional systems used for quantification of team sports have shown serious limitations in their ability to investigate the existence of consistent structures that reflect not perceptible regularities, but who are behind the development of it. The proposed observational design is nomothetic, cross-sectional and multidimensional. The observation instrument used is the SOF-5, and is especially directed to the study of interaction contexts. The record has been made by intrasesional following using the software Match Vision Studio. It has carried out an analysis of T-patterns detection by software Theme. The results show that it is possible to identify stable temporal structures that provide knowledge about the approach of interaction contexts concurrently with respect to laterality, area, and early and late possession.

Key words: *T-patterns, Interaction contexts, Direct observation, Soccer.*

CONTEXTOS DE INTERACCIÓN EN EL FÚTBOL: DETECCIÓN T-PATTERNS

Javier Chavarri¹, Oleguer Camerino, M. Teresa Anguera³, Ángel Blanco-Villaseñor³ & José Luis Losada³

¹ Instituto Nacional de Educación Física de Lleida – Centre de Lleida (España)

² Instituto Nacional de Educación Física de Lleida – Universidade de Lleida (España)

³ Facultad de Psicología – Universidad de Barcelona (España)

En este trabajo se presenta un estudio relativo a la detección de patrones temporales en el fútbol profesional. Los sistemas tradicionales utilizados en la cuantificación de deportes de equipo han mostrado serias limitaciones en su capacidad para indagar acerca de la existencia de estructuras consistentes que reflejen regularidades no perceptibles, pero que se hallan subyacentes al desarrollo de la contienda. El diseño observacional planteado es nomotético, puntual y multidimensional. El instrumento de observación utilizado es el SOF-5, y está especialmente dirigido al estudio de los contextos de interacción. El registro ha consistido en un seguimiento intrasesional efectuado mediante el programa informático Match Vision Studio. Se ha llevado a cabo un análisis de detección de T-patterns mediante el programa informático Theme. Los resultados obtenidos muestran que es posible identificar unas estructuras temporales estables que aportan conocimiento acerca del planteamiento de contextos de interacción de forma concurrente respecto a lateralidad, zona, e inicios y fines de posesión del balón.

Palabras clave: *T-patterns, Contextos de interacción, Observación directa, Fútbol.*

CONTEXTOS DE INTERACCIÓN EN EL FÚTBOL: DETECCIÓN T-PATTERNS

Javier Chavarri¹, Oleguer Camerino, M. Teresa Anguera³, Ángel Blanco-Villaseñor³ & José Luis Losada³

¹ Instituto Nacional de Educación Física de Lleida – Centre de Lleida (España)

² Instituto Nacional de Educación Física de Lleida – Universidade de Lleida (España)

³ Facultad de Psicología – Universidad de Barcelona (España)

Introducción

En el ámbito de la investigación deportiva se manifiesta una necesidad creciente de obtener de forma rigurosa corpus de datos que nos aporten evidencias empíricas sobre la realidad compleja que abordan, como la existencia de regularidades no detectadas desde la inferencia visual o desde análisis tradicionales de datos, o la falta de existencia de instrumentos de observación de carácter estándar, o la prioridad de disponer de sistemas potentes de codificación informatizada.

Los estudios tradicionales han ofrecido unos registros basados únicamente en el recuento de determinadas ocurrencias de conductas, como el número de pases en determinada zona, o cuántas faltas cometía un equipo a lo largo de un partido. No obstante, si consideramos que el desarrollo del juego en fútbol implica la continuada generación de contextos de interacción que varían continuamente a lo largo del partido, tal objetivo requerirá disponer de un registro diacrónico capaz de incluir todas las informaciones que se juzguen relevantes respecto a aquellos aspectos relacionados con tales contextos de interacción, como la lateralidad o carril del campo en que se halla el balón (segmentación longitudinal del campo), zona (segmentación transversal del campo), forma como se accede a la posesión del balón, y tipo de finalización de la posesión del balón.

Este trabajo no pretende argüir que el análisis de las estructuras temporales es mejor que otras aproximaciones existentes en la investigación deportiva, sino que ofrece una perspectiva novedosa que requiere de unos antecedentes previos de conceptualización y

construcción de instrumentos, además de contar con los programas informáticos adecuados.

La principal pretensión de este trabajo es la de estudiar la existencia de posibles estructuras temporales estables, lo cual implica el interés por revelar aspectos de la interacción entre los posicionamientos de ambos equipos durante el juego que no son directa e inmediatamente observables. La perspectiva que se toma como referente se basa en que el flujo interactivo desplegado a lo largo de un partido está gobernado por estructuras comportamentales de estabilidad variable que pueden detectarse y visualizarse mediante la detección de diversos tipos de patrones temporales, conocidos como T-Patterns (Magnusson, 1996, 2000).

La interacción entre los equipos durante el juego constituye indudablemente un fenómeno complejo, y subyacen suposiciones que constituirían un interesante punto de partida para el estudio de procesos diversos, como el análisis de sistemas dinámicos (Davids, Araújo & Shuttleworth, 2005), o de relaciones sociales entre los equipos contendientes, pero no existe una base teórica unificada para el estudio de tales procesos, en los cuales cabe destacar la inevitable multiplicidad de los individuos implicados, la diversidad de estructuras interactivas, los efectos del contexto, o la variabilidad inter- e intra-sesión, entre otros. En consecuencia, el estudio de la interacción social es difícil desde una perspectiva metodológica, y a este respecto la contribución de la metodología observacional ha sido decisiva (Anguera, 2003, 2005; Jonsson, Anguera, Blanco-Villaseñor, Losada, Hernández-Mendo, Ardá, Camerino & Castellano, *in press*). Indudablemente, el fútbol profesional ha sido estudiado desde diversas metodologías, pero la metodología observacional ofrece interesantes posibilidades, dado que transcurre en un contexto habitual, es practicado por jugadores profesionales, y las acciones de juego son de carácter perceptible.

Por otra parte, dentro del estudio de los contextos de interacción, pueden distinguirse diversas facetas de interés relevante. Una de ellas, que nos interesa especialmente, y constituye un objetivo de este

trabajo, constituye el estudio de estructuras ocultas que subyacen a la situación interactiva que implica el desarrollo del juego en el fútbol. Este planteamiento considera que el flujo o cadena interactiva está gobernado por estructuras comportamentales de estabilidad variable que pueden visualizarse mediante la detección de patrones temporales, denominados T-Patterns. Estos patrones temporales se pueden detectar mediante el potente algoritmo del programa informático Thème, desarrollado por Magnusson (1996, 2000), y que permite importar datos – directamente o mediante previa transformación- de diversos programas de codificación, que en nuestro caso ha sido el Match Vision Studio.

La obtención y estudio de los T-Patterns ha sido extraordinariamente fructífero en la literatura para el análisis de diferentes aspectos de interacción social en el ámbito deportivo (Anguera & Ardá, 2003; Anguera & Jonsson, 2002, 2003; Bloomfield, Jonsson, Polman, Houlahan, & O'Donoghue, 2005; Borrie, Jonsson, & Magnusson, 2001, 2002; Jonsson, Bjarkadottir, Gislason, Borrie, & Magnusson, 2003; Jonsson, Anguera, Blanco-Villaseñor, Losada, Hernández-Mendo, Ardá, Camerino & Castellano, *in press*), lo cual constituye una garantía contrastada en cuanto a marco de referencia.

Finalmente, y desde el punto de vista tecnológico, debemos constatar que han evolucionado velozmente en los últimos años las técnicas de registro utilizadas, desde las tradicionales y obsoletas de papel y lápiz hasta la actual utilización de grabaciones digitalizadas y análisis computerizados (Borrie, Jonsson, & Magnusson, 2002), habiéndose desarrollado ampliamente en diversas modalidades deportivas (Luo, Wu & Hwang, 2003), y en concreto en fútbol (Norton, Craig & Olds, 1999; Intille & Bobick, 2001; Appleby & Dawson, 2002; Assfalg, Bertini, Colombo, Del Bimbo & Nunziati, 2003; Cerveri, Pedotti & Ferrigno, 2003; Xie, Xu, Chang, Divakaran & Sun, 2004; Jonsson, 2006). El desarrollo tecnológico experimentado ha facilitado en gran medida la preparación de las grabaciones y el muestreo de episodios, a la vez que se puede disponer de una codificación informatizada dotada de todas las garantías en cuanto a calidad del registro, medida del tiempo,

constatación de co-ocurrencias o diacronías, situaciones de inobservabilidad generadas por disrupción temporal, etc.

Método

Diseño

El diseño observacional (Anguera, Blanco-Villaseñor y Losada, 2001) es nomotético (varios partidos), puntual (un partido para cada par de equipos enfrentados, y registro intrasesional a lo largo del partido), y multidimensional (las dimensiones se corresponden con los criterios cambiantes del instrumento de observación).

A partir del planteamiento de este diseño N/P/M (nomotético/puntual/multidimensional) se derivan una serie de decisiones (estructura del instrumento de observación, tipo de datos, control de calidad del dato, y análisis de datos).

Participantes

Este estudio forma parte de un proyecto más amplio que implica el análisis de todos los partidos jugados por el Fútbol Club Barcelona (España) en las competiciones de Liga y Champions durante varias temporadas. A partir del total de dichos partidos hemos seleccionado diez partidos correspondientes a Liga y Champions de la temporada 2000-2001.

Tabla 1 - Relación de partidos observados.

| Lugar | Resultado | Partidos | Nº configuraciones (nº filas en el registro obtenido mediante el Match Vision Studio) | |
|-------|-----------|---------------------|---|---------------|
| | | | Primera parte | Segunda parte |
| Casa | 2-2 | BCN-Atlético Madrid | 386 | 333 |
| | 3-0 | BCN-Inter | 335 | 372 |
| | 0-0 | BCN-Liverpool | 519 | 386 |
| | 0-2 | BCN-Milan | 370 | 351 |
| | 4-4 | BCN-Zaragoza | 435 | 397 |
| Fuera | 0-1 | AEK-BCN | 452 | 455 |
| | 3-3 | Milan-BCN | 287 | 351 |
| | 4-0 | Racing-BCN | 324 | 377 |
| | 2-2 | Real Madrid-BCN | 387 | 359 |
| | 0-6 | Real Sociedad-BCN | 365 | 451 |

Instrumento de observación

El instrumento de observación elegido para este estudio es el SOF-5, que combina el formato de campo con sistemas de categorías. Dicho instrumento forma parte del desarrollo continuado de los instrumentos SOF, en sus versiones 1 a 5 (Anguera, Blanco-Villaseñor, Losada, Ardá, Camerino, Castellano, & Hernández-Mendo, 2000; Anguera, Blanco-Villaseñor, Losada, Ardá, Camerino, Castellano, Hernández-Mendo, & Jonsson, 2003; Anguera, Blanco-Villaseñor, Losada, Ardá, Camerino, Castellano, Hernández-Mendo, & Jonsson, 2004; Jonsson, Anguera, Blanco-Villaseñor, Losada, Hernández-Mendo, Ardá, Camerino & Castellano, *in press*).

El instrumento de observación SOF-5 (Castellano, 2000; Blanco-Villaseñor, Castellano, Hernández-Mendo, Anguera, Losada, Ardá, & Camerino, 2006, en prensa; Jonsson, Anguera, Blanco-Villaseñor, Losada, Hernández-Mendo, Ardá, Camerino & Castellano, *in press*) consta de criterios fijos, criterios mixtos y criterios cambiantes. Cada uno de ellos da lugar a respectivos sistemas de categorías que cumplen las condiciones E/ME de exhaustividad y mutua exclusividad. Se dispone de un detallado Manual de Codificación del instrumento, que incluye las definiciones de los códigos y las reglas sintácticas que regulan su uso (Blanco-Villaseñor, Castellano, Hernández-Mendo, Anguera, Losada, Ardá, & Camerino, 2006, en prensa).

Los criterios fijos se cumplimentan únicamente al inicio del partido, los criterios mixtos cada vez que ocurre un cambio de marcador o de número de jugadores, y los criterios cambiantes se someten a un registro continuado a lo largo de la observación del partido.

La estructura del instrumento se ajusta al diseño observacional planteado, de carácter multidimensional. Las dimensiones consideradas se corresponden a las que componen los criterios cambiantes de dicho instrumento (lateralidad, zona, posesión inicio, posesión fin y contextos de interacción).

Tabla 2. Códigos correspondientes al instrumento de observación SOF-5.

| | | | |
|----------------------|---------------------------|-----------------------------------|--------------|
| CRITERIOS FIJOS | Fecha | | |
| | Equipo | Equipo observado | |
| | | Equipo adversario | |
| | Dominio | Club | |
| | | Selección | |
| | Ámbito | Nacional | |
| | | Internacional | |
| | Competición | Liga | |
| | | Copa | |
| | | Amistoso | |
| MIXTO | Campo | Casa | |
| | | Fuera | |
| | | Neutral | |
| | Parte | Primera | |
| | | Segunda | |
| | | Prórroga 1 | |
| | | Prórroga 2 | |
| | Clasificación | Liga [sólo en este caso] | |
| | Marcador momentáneo | | |
| | Marcador acumulado | | |
| CRITERIOS CAMBIANTES | Simetría / Asimetría | Simetría (11/11) | S |
| | | Asimetría (indicar numéricamente) | |
| | Lateralidad | Derecha | De |
| | | Centro | Ce |
| | | Izquierda | Iz |
| | Zona | Ultra-defensiva | UD |
| | | Defensiva | D |
| | | Central | C |
| | | Ofensiva | O |
| | | Ultra-ofensiva | UO |
| Posesión | Inicio | Balón en juego | Recuperación |
| | | A favor / Dentro | IFD |
| | | A favor / Fuera / Pie | IFFP |
| | | A favor / Fuera / Mano | IFFM |
| | Fin | Balón en juego | Pérdida |
| | | Tiro | FT |
| | | A favor / Dentro | FFD |
| | | A favor / Fuera / Pie | FFFP |
| | | A favor / Fuera / Mano | FFFM |
| | | En contra / Dentro | FCD |
| | Contextos de interacción | En contra / Fuera / Pie | FCFP |
| | | En contra / Fuera / Mano | FCFM |
| | | Gol a favor | FG |
| Duración | Zona Retrasada-Zona Media | Zona Retrasada-Zona Media | R M |
| | | Zona Retrasada-Zona Adelantada | R A |
| | | Zona Media-Zona Retrasada | M R |
| | | Zona Media-Zona Media | M M |
| | | Zona Media-Zona Adelantada | M A |
| | | Zona Adelantada-Zona Retrasada | A R |
| | | Zona Adelantada-Zona Media | A M |
| | | Zona Adelantada-Zona Vacía | A O |
| | Ø | Zona Vacía-Zona Adelantada | O A |
| | | Ø | Ø |

Instrumento de registro

El instrumento de registro es el programa informático Match Vision Studio (Perea, Alday y Castellano, 2004).

Es un programa altamente flexible en el cual se introducen inicialmente la totalidad de los códigos correspondientes a cada uno de los criterios cambiantes del instrumento de observación SOF-5, y se registra cada una de las co-ocurrencias de códigos. Cada una de dichas co-ocurrencias ocurre en un frame, que es la unidad temporal utilizada, y se obtiene un registro en formato Excel formado por las sucesivas co-ocurrencias, disponiéndose de la duración en frames de cada una de ellas.

El Match Vision Studio es un programa informático que permite visionar en pantalla la grabación digitalizada de los partidos.



Figura 1 - Pantalla del programa Match Vision Studio durante el registro.

Procedimiento

El total de configuraciones registradas mediante el programa Match Vision Studio en el total de los diez partidos es de 7692 (ver muestra en Tabla 3), y corresponden a la codificación efectuada a partir de los criterios cambiantes del SOF-5.

Tabla 3. Fragmento de registro (1'43'') obtenido mediante el Match Vision Studio (partido AEK-BCN, parte 1).

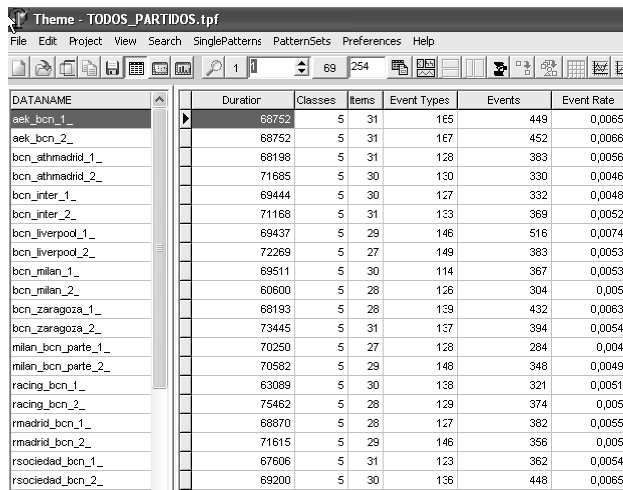
| Tiempo | Duración | Lateralidad | Zona | Posesión Inicio | Posesión Fin | Contexto de interacción |
|--------|----------|-------------|------|-----------------|--------------|-------------------------|
| 377 | 28 | Ce | C | 0 | 0 | MM |
| 405 | 68 | Iz | D | 0 | 0 | MA |
| 473 | 122 | o | o | 0 | 0 | RA |
| 595 | 40 | Ce | O | 0 | 0 | AM |
| 635 | 129 | De | O | 0 | FP | o |
| 1334 | 105 | Ce | UD | IR | 0 | RA |
| 1439 | 475 | Iz | D | 0 | FCCM | o |
| 1914 | 32 | Ce | UD | IR | 0 | RM |
| 1946 | 60 | o | o | 0 | 0 | MM |
| 2006 | 249 | Ce | D | 0 | FP | o |
| 2255 | 51 | Ce | UD | IR | 0 | RA |
| 2306 | 62 | Iz | D | 0 | 0 | RM |
| 2368 | 81 | o | UD | 0 | 0 | RA |
| 2449 | 33 | Iz | C | 0 | FP | AM |
| 2482 | 104 | Ce | C | IR | 0 | AR |
| 2586 | 108 | Iz | O | 0 | 0 | AR |
| 2694 | 225 | Iz | O | 0 | FFFM | MA |
| 2919 | 39 | Iz | O | IFFM | 0 | MM |
| 2958 | 67 | o | o | 0 | 0 | RM |

Estos archivos se han transformado al formato requerido por el programa de análisis Thème (ver muestra en Tabla 4), que es una tabla consistente en el Dataname (etiqueta utilizada para designar bloques de datos, que en nuestro caso son los datos correspondientes a cada uno de los tiempos de cada partido), la información temporal expresada en frames, y la columna Event en la cual se registran las sucesivas co-ocurrencias de códigos (como máximo, hay una por criterio).

Tabla 4. Fragmento de registro (1'43'') transformado para ser importado desde el programa Thème (partido AEK-BCN, parte 1).

| Dataname | T | Event |
|-------------|------|--------------|
| AEK_BCN_1_- | 376 | : |
| AEK_BCN_1_- | 377 | Ce,C,MM |
| AEK_BCN_1_- | 405 | Iz,D,MA |
| AEK_BCN_1_- | 473 | Iz,D,RA |
| AEK_BCN_1_- | 595 | Ce,O,AM |
| AEK_BCN_1_- | 635 | De,O,FP |
| AEK_BCN_1_- | 1334 | Ce,UD,IR,RA |
| AEK_BCN_1_- | 1439 | Iz,D,FCCM,RA |
| AEK_BCN_1_- | 1914 | Ce,UD,IR,RM |
| AEK_BCN_1_- | 1946 | Ce,UD,MM |
| AEK_BCN_1_- | 2006 | Ce,D,FP |
| AEK_BCN_1_- | 2255 | Ce,UD,IR,RA |
| AEK_BCN_1_- | 2306 | Iz,D,RM |
| AEK_BCN_1_- | 2368 | Iz,UD,RA |
| AEK_BCN_1_- | 2449 | Iz,C,FP,AM |
| AEK_BCN_1_- | 2482 | Ce,C,IR,AR |
| AEK_BCN_1_- | 2586 | Iz,O,AR |
| AEK_BCN_1_- | 2694 | Iz,O,FFFM,MA |
| AEK_BCN_1_- | 2919 | Iz,O,IFFM,MM |
| AEK_BCN_1_- | 2958 | Iz,O,RM |

Los datos se han importado desde el programa Thème con el fin de detectar los patrones temporales. La Figura 2a muestra la relación de ficheros importados al Thème.

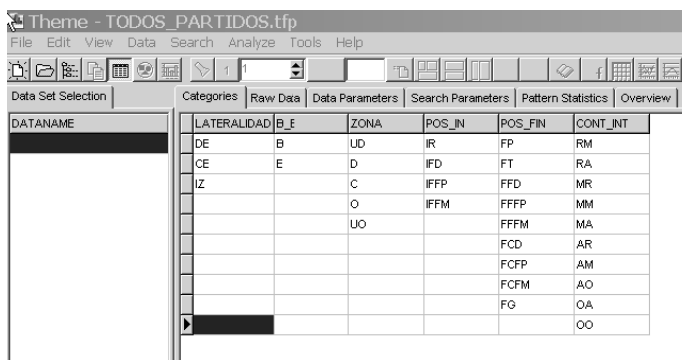


The screenshot shows the Thème software interface with the title "Theme - TODOS_PARTIDOS.tfp". The menu bar includes File, Edit, Project, View, Search, SinglePatterns, PatternSets, Preferences, and Help. Below the menu is a toolbar with various icons. A list of dataset names is on the left, and a detailed table of statistics is on the right. The table has columns: Duration, Classes, Items, Event Types, Events, and Event Rate. The data is as follows:

| | Duration | Classes | Items | Event Types | Events | Event Rate |
|--------------------|----------|---------|-------|-------------|--------|------------|
| aek_bcn_1_ | 68752 | 5 | 31 | 165 | 449 | 0,0065 |
| aek_bcn_2_ | 68752 | 5 | 31 | 167 | 452 | 0,0066 |
| bcn_atr Madrid_1_ | 68198 | 5 | 31 | 128 | 383 | 0,0056 |
| bcn_atr Madrid_2_ | 71685 | 5 | 30 | 130 | 330 | 0,0046 |
| bcn_inter_1_ | 69444 | 5 | 30 | 127 | 332 | 0,0048 |
| bcn_inter_2_ | 71168 | 5 | 31 | 133 | 369 | 0,0052 |
| bcn_liverpool_1_ | 69437 | 5 | 29 | 146 | 516 | 0,0074 |
| bcn_liverpool_2_ | 72269 | 5 | 27 | 149 | 383 | 0,0053 |
| bcn_milan_1_ | 69511 | 5 | 30 | 114 | 367 | 0,0053 |
| bcn_milan_2_ | 60600 | 5 | 28 | 126 | 304 | 0,005 |
| bcn_zaragoza_1_ | 68193 | 5 | 28 | 139 | 432 | 0,0063 |
| bcn_zaragoza_2_ | 73445 | 5 | 31 | 157 | 394 | 0,0054 |
| milan_bcn_parte_1_ | 70250 | 5 | 27 | 128 | 284 | 0,004 |
| milan_bcn_parte_2_ | 70582 | 5 | 29 | 148 | 348 | 0,0049 |
| racing_bcn_1_ | 63089 | 5 | 30 | 138 | 321 | 0,0051 |
| racing_bcn_2_ | 75462 | 5 | 28 | 129 | 374 | 0,005 |
| rmadrid_bcn_1_ | 68870 | 5 | 28 | 127 | 382 | 0,0055 |
| rmadrid_bcn_2_ | 71815 | 5 | 29 | 146 | 386 | 0,005 |
| rsociedad_bcn_1_ | 67606 | 5 | 31 | 123 | 362 | 0,0054 |
| rsociedad_bcn_2_ | 69200 | 5 | 30 | 136 | 448 | 0,0065 |

Figura 2a - Pantalla del programa Thème en la cual se muestran los valores de diversos parámetros descriptivos de cada una de las partes de todos los partidos (la duración está expresada en frames).

Los códigos del instrumento de observación SOF-5 se han introducido en el programa Thème, constituyendo un fichero en formato .vvt (Figura 3).



The screenshot shows the Thème software interface with the title "Theme - TODOS_PARTIDOS.tfp". The menu bar includes File, Edit, View, Data, Search, Analyze, Tools, and Help. Below the menu is a toolbar with various icons. A list of categories is on the left, and a detailed table of parameters is on the right. The table has columns: LATERALIDAD, B_E, ZONA, POS_IN, POS_FIN, and CONT_INT. The data is as follows:

| LATERALIDAD | B_E | ZONA | POS_IN | POS_FIN | CONT_INT |
|-------------|-----|------|--------|---------|----------|
| DE | B | UD | IR | FP | RM |
| CE | E | D | IFD | FT | RA |
| IZ | | C | IFFP | FFD | MR |
| | O | | IFFM | FFFP | MM |
| | | UO | | FFFM | MA |
| | | | | FCD | AR |
| | | | | FCFP | AM |
| | | | | FCFM | AO |
| | | | | FG | OA |
| | | | | | OO |

Figura 3 - Fichero de formato .vvt que contiene los códigos utilizados en el registro (ver criterios cambiantes del instrumento de observación SOF-5, además del criterio B_E (begin-end), que se incorpora por defecto por ser necesario por el sistema).

El programa Theme [ver www.patternvision.com] permite detectar patrones temporales complejos a partir de la lista de co-ocurrencias que ocurren en los respectivos frames, y que serían invisibles para el observador humano (Magnusson, 1996, 2000) por ser capaz únicamente de percibir las conductas ocurridas, pero no de integrarlas en regularidades.

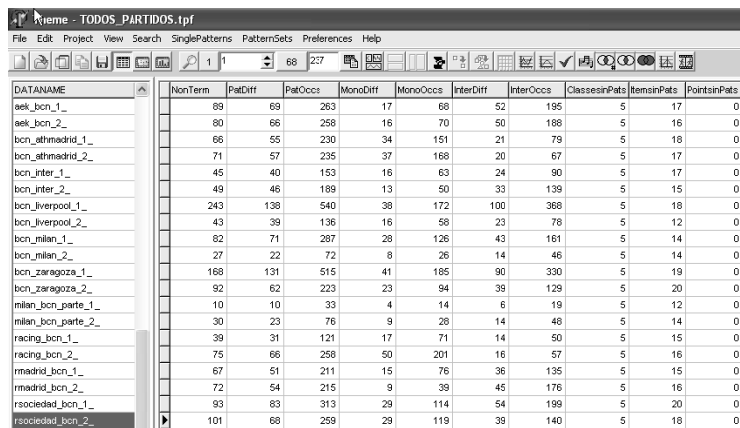
Expresado de forma simple, si dos acciones, A y B, ocurren repetidamente en este orden, o bien concurrentemente, se obtendrá un T-Pattern [AB] si ocurren con una frecuencia y con una distancia temporal (denominada intervalo crítico) que genera una probabilidad condicionada mayor que la probabilidad incondicionada que se obtendría por el mero hecho del azar. El algoritmo del programa se apoya en la suposición de que cualquier situación compleja puede ser codificada, siempre que se cuente con un adecuado instrumento de observación, de forma que la información temporal de los inicios y fines de cada co-ocurrencia (por ejemplo, en lateralidad derecha y zona ultra-ofensiva, se produce un tiro gol en unos determinados frames) permita el cálculo probabilístico de intervalos críticos que delimitan, de forma estadísticamente significativa, los patrones temporales mostrados por el programa (denominados T-Patterns).

Resultados

Para controlar la calidad de los datos (Blanco-Villaseñor, 1993; Blanco-Villaseñor & Anguera, 2000), se ha calculado el coeficiente kappa. Los valores obtenidos se han situado entre 0.75 y 0.85.

Una vez efectuada la codificación y la transformación de la totalidad de los datos, y después de superar el control de calidad, se importaron al programa Thème, y se obtuvieron todos los estadísticos descriptivos (ver Figuras 2a a 2f).

Figura 2b. Pantalla del programa Thème en la cual se muestran los valores de diversos parámetros descriptivos de cada una de las partes de todos los partidos.

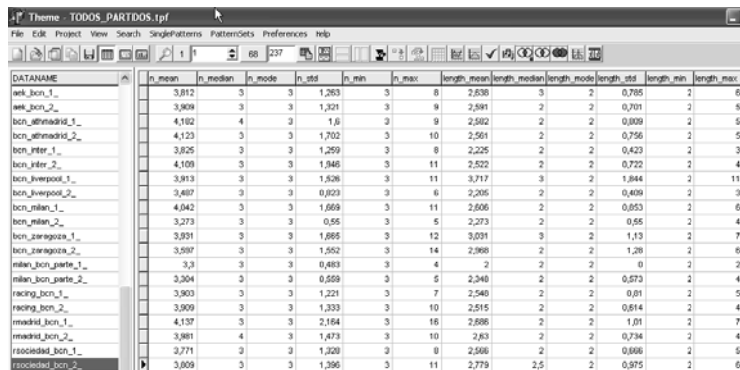


The screenshot shows a software window titled "Thème - TODOS_PARTIDOS.tpf". The menu bar includes File, Edit, Project, View, Search, SinglePatterns, PatternSets, Preferences, and Help. The main area displays a table with two sections: a header row and a data section. The header row contains columns for DATANAME, NonTerm, PatDiff, PatOcc, MonoDiff, MonoOccs, InterDiff, InterOccs, ClassesinPats, ItemsinPats, and PointsinPats. The data section lists numerous football team names followed by their respective values across these metrics. The data section starts with:

| DATANAME | NonTerm | PatDiff | PatOcc | MonoDiff | MonoOccs | InterDiff | InterOccs | ClassesinPats | ItemsinPats | PointsinPats |
|---------------------|---------|---------|--------|----------|----------|-----------|-----------|---------------|-------------|--------------|
| aek_bcn_1_ | 88 | 69 | 263 | 17 | 68 | 52 | 195 | 5 | 17 | 0 |
| aek_bcn_2_ | 80 | 66 | 258 | 16 | 70 | 50 | 188 | 5 | 16 | 0 |
| bcn_atmadrid_1_ | 66 | 55 | 230 | 34 | 151 | 21 | 79 | 5 | 18 | 0 |
| bcn_atmadrid_2_ | 71 | 57 | 235 | 37 | 168 | 20 | 67 | 5 | 17 | 0 |
| bcn_inter_1_ | 45 | 40 | 153 | 16 | 63 | 24 | 90 | 5 | 17 | 0 |
| bcn_inter_2_ | 49 | 46 | 189 | 13 | 50 | 33 | 139 | 5 | 15 | 0 |
| bcn_liverpool_1_ | 243 | 138 | 540 | 38 | 172 | 100 | 368 | 5 | 18 | 0 |
| bcn_liverpool_2_ | 43 | 39 | 136 | 16 | 58 | 23 | 78 | 5 | 12 | 0 |
| bcn_milan_1_ | 82 | 71 | 287 | 28 | 126 | 43 | 161 | 5 | 14 | 0 |
| bcn_milan_2_ | 27 | 22 | 72 | 8 | 26 | 14 | 46 | 5 | 14 | 0 |
| bcn_zaragoza_1_ | 168 | 131 | 515 | 41 | 185 | 90 | 330 | 5 | 19 | 0 |
| bcn_zaragoza_2_ | 92 | 62 | 223 | 23 | 94 | 38 | 129 | 5 | 20 | 0 |
| milan_bcn_parte_1_ | 10 | 10 | 33 | 4 | 14 | 6 | 19 | 5 | 12 | 0 |
| milan_bcn_parte_2_ | 30 | 23 | 76 | 9 | 28 | 14 | 48 | 5 | 14 | 0 |
| racing_bcn_1_ | 39 | 31 | 121 | 17 | 71 | 14 | 50 | 5 | 15 | 0 |
| racing_bcn_2_ | 75 | 66 | 258 | 50 | 201 | 16 | 57 | 5 | 16 | 0 |
| rmadrid_bcn_1_ | 67 | 51 | 211 | 15 | 76 | 36 | 135 | 5 | 15 | 0 |
| rmadrid_bcn_2_ | 72 | 54 | 215 | 9 | 39 | 45 | 176 | 5 | 16 | 0 |
| rsocialiedad_bcn_1_ | 93 | 83 | 313 | 29 | 114 | 54 | 199 | 5 | 20 | 0 |
| rsocialiedad_bcn_2_ | 101 | 68 | 259 | 29 | 119 | 39 | 140 | 5 | 18 | 0 |

Figura 2b. Pantalla del programa Thème en la cual se muestran los valores de diversos parámetros descriptivos de cada una de las partes de todos los partidos.

Figura 2c. Pantalla del programa Thème en la cual se muestran los valores de diversos parámetros descriptivos de cada una de las partes de todos los partidos.



The screenshot shows a software window titled "Thème - TODOS_PARTIDOS.tpf". The menu bar includes File, Edit, Project, View, Search, SinglePatterns, PatternSets, Preferences, and Help. The main area displays a table with two sections: a header row and a data section. The header row contains columns for DATANAME and various statistical metrics: n_mean, n_median, n_mode, n_std, n_min, n_max, length_mean, length_median, length_mode, length_std, length_min, and length_max. The data section lists numerous football team names followed by their respective values across these metrics. The data section starts with:

| DATANAME | n_mean | n_median | n_mode | n_std | n_min | n_max | length_mean | length_median | length_mode | length_std | length_min | length_max |
|---------------------|--------|----------|--------|-------|-------|-------|-------------|---------------|-------------|------------|------------|------------|
| aek_bcn_1_ | 3,812 | 3 | 3 | 1,263 | 3 | 8 | 2,538 | 3 | 2 | 0,785 | 2 | 6 |
| aek_bcn_2_ | 3,909 | 3 | 3 | 1,321 | 3 | 9 | 2,591 | 2 | 2 | 0,701 | 2 | 5 |
| bcn_atmadrid_1_ | 4,162 | 4 | 3 | 1,6 | 3 | 9 | 2,592 | 2 | 2 | 0,009 | 2 | 5 |
| bcn_atmadrid_2_ | 4,123 | 3 | 3 | 1,702 | 3 | 10 | 2,561 | 2 | 2 | 0,756 | 2 | 5 |
| bcn_inter_1_ | 3,826 | 3 | 3 | 1,259 | 3 | 8 | 2,225 | 2 | 2 | 0,423 | 2 | 3 |
| bcn_inter_2_ | 4,109 | 3 | 3 | 1,946 | 3 | 11 | 2,522 | 2 | 2 | 0,722 | 2 | 4 |
| bcn_liverpool_1_ | 3,913 | 3 | 3 | 1,526 | 3 | 11 | 3,717 | 3 | 2 | 1,844 | 2 | 11 |
| bcn_liverpool_2_ | 3,467 | 3 | 3 | 0,929 | 3 | 6 | 2,205 | 2 | 2 | 0,409 | 2 | 3 |
| bcn_milan_1_ | 4,042 | 3 | 3 | 1,669 | 3 | 11 | 2,606 | 2 | 2 | 0,653 | 2 | 6 |
| bcn_milan_2_ | 3,273 | 3 | 3 | 0,55 | 3 | 5 | 2,273 | 2 | 2 | 0,65 | 2 | 4 |
| bcn_zaragoza_1_ | 3,951 | 3 | 3 | 1,865 | 3 | 12 | 3,091 | 3 | 2 | 1,13 | 2 | 7 |
| bcn_zaragoza_2_ | 3,597 | 3 | 3 | 1,502 | 3 | 14 | 2,966 | 2 | 2 | 1,26 | 2 | 6 |
| milan_bcn_parte_1_ | 3,2 | 3 | 3 | 0,483 | 3 | 4 | 2 | 2 | 2 | 0 | 2 | 2 |
| milan_bcn_parte_2_ | 3,304 | 3 | 3 | 0,559 | 3 | 5 | 2,240 | 2 | 2 | 0,573 | 2 | 4 |
| racing_bcn_1_ | 3,903 | 3 | 3 | 1,221 | 3 | 7 | 2,540 | 2 | 2 | 0,61 | 2 | 5 |
| racing_bcn_2_ | 3,909 | 3 | 3 | 1,333 | 3 | 10 | 2,515 | 2 | 2 | 0,614 | 2 | 4 |
| rmadrid_bcn_1_ | 4,137 | 3 | 3 | 2,164 | 3 | 16 | 2,686 | 2 | 2 | 1,01 | 2 | 7 |
| rmadrid_bcn_2_ | 3,981 | 4 | 3 | 1,473 | 3 | 10 | 2,83 | 2 | 2 | 0,734 | 2 | 4 |
| rsocialiedad_bcn_1_ | 3,771 | 3 | 3 | 1,320 | 3 | 8 | 2,566 | 2 | 2 | 0,666 | 2 | 5 |
| rsocialiedad_bcn_2_ | 3,009 | 3 | 3 | 1,396 | 3 | 11 | 2,779 | 2,5 | 2 | 0,975 | 2 | 6 |

Figura 2c. Pantalla del programa Thème en la cual se muestran los valores de diversos parámetros descriptivos de cada una de las partes de todos los partidos.

Figura 2d. Pantalla del programa Thème en la cual se muestran los valores de diversos parámetros descriptivos de cada una de las partes de todos los partidos.

| DATANAME | level_mean | level_median | level_mode | level_std | level_min | level_max | nsnswitches_mean | nsnswitches_median | nsnswitches_mode | nsnswitches_std |
|-------------------|------------|--------------|------------|-----------|-----------|-----------|------------------|--------------------|------------------|-----------------|
| aek_bcn_1 | 1,551 | 2 | 1 | 0,302 | 1 | 3 | 1,029 | 1 | 1 | 0,705 |
| aek_bcn_2 | 1,515 | 1 | 1 | 0,581 | 1 | 3 | 1 | 1 | 1 | 0,702 |
| bcn_atmamadrid_1 | 1,627 | 1 | 1 | 0,716 | 1 | 3 | 0,6 | 0 | 0 | 0,631 |
| bcn_atmamadrid_2 | 1,509 | 1 | 1 | 0,63 | 1 | 3 | 0,439 | 0 | 0 | 0,655 |
| bcn_inter_1 | 1,298 | 1 | 1 | 0,429 | 1 | 2 | 0,875 | 1 | 1 | 0,816 |
| bcn_inter_2 | 1,413 | 1 | 1 | 0,541 | 1 | 3 | 1,109 | 1 | 1 | 0,840 |
| bcn_liverpool_1 | 2,203 | 2 | 2 | 1,102 | 1 | 5 | 1,304 | 1 | 1 | 1,248 |
| bcn_liverpool_2 | 1,205 | 1 | 1 | 0,409 | 1 | 2 | 0,887 | 1 | 1 | 0,821 |
| bcn_milan_1 | 1,507 | 1 | 1 | 0,673 | 1 | 3 | 0,746 | 1 | 1 | 0,712 |
| bcn_milan_2 | 1,227 | 1 | 1 | 0,429 | 1 | 2 | 0,727 | 1 | 1 | 0,631 |
| bcn_zaragoza_1 | 1,802 | 2 | 1 | 0,798 | 1 | 4 | 1,145 | 1 | 1 | 1,039 |
| bcn_zaragoza_2 | 1,742 | 1 | 1 | 0,904 | 1 | 4 | 0,887 | 1 | 1 | 0,869 |
| milan_bcn_parte_1 | 1 | 1 | 1 | 0 | 1 | 1 | 0,6 | 1 | 1 | 0,516 |
| milan_bcn_parte_2 | 1,348 | 1 | 1 | 0,573 | 1 | 3 | 0,783 | 1 | 1 | 0,738 |
| racing_bcn_1 | 1,404 | 1 | 1 | 0,620 | 1 | 3 | 0,613 | 0 | 0 | 0,682 |
| racing_bcn_2 | 1,47 | 1 | 1 | 0,533 | 1 | 3 | 0,288 | 0 | 0 | 0,548 |
| madrid_bcn_1 | 1,588 | 1 | 1 | 0,783 | 1 | 4 | 0,98 | 1 | 1 | 0,883 |
| madrid_bcn_2 | 1,574 | 1 | 1 | 0,662 | 1 | 3 | 1,111 | 1 | 1 | 0,654 |
| rsecciedad_bcn_1 | 1,518 | 1 | 1 | 0,571 | 1 | 3 | 0,887 | 1 | 1 | 0,781 |
| rsecciedad_bcn_2 | 1,662 | 1,6 | 1 | 0,704 | 1 | 4 | 0,800 | 1 | 0 | 0,929 |

Figura 2d. Pantalla del programa Thème en la cual se muestran los valores de diversos parámetros descriptivos de cada una de las partes de todos los partidos.

Figura 2e. Pantalla del programa Thème en la cual se muestran los valores de diversos parámetros descriptivos de cada una de las partes de todos los partidos.

| DATANAME | nsnswitches_min | nsnswitches_max | factors_mean | factors_median | factors_mode | factors_std | factors_min | factors_max | dt_mean | dt_median | dt_mode |
|-------------------|-----------------|-----------------|--------------|----------------|--------------|-------------|-------------|-------------|---------|-----------|---------|
| aek_bcn_1 | 0 | 4 | 1,004 | 2 | 2 | 0,607 | 1 | 3 | 0 | 0 | 0 |
| aek_bcn_2 | 0 | 2 | 1,064 | 2 | 2 | 0,679 | 1 | 3 | 0 | 0 | 0 |
| bcn_atmamadrid_1 | 0 | 2 | 1,982 | 1 | 1 | 0,49 | 1 | 2 | 0 | 0 | 0 |
| bcn_atmamadrid_2 | 0 | 2 | 1,366 | 1 | 1 | 0,559 | 1 | 3 | 0 | 0 | 0 |
| bcn_inter_1 | 0 | 2 | 1,675 | 2 | 2 | 0,616 | 1 | 3 | 0 | 0 | 0 |
| bcn_inter_2 | 0 | 3 | 1,848 | 2 | 2 | 0,631 | 1 | 3 | 0 | 0 | 0 |
| bcn_liverpool_1 | 0 | 7 | 1,957 | 2 | 2 | 0,713 | 1 | 3 | 0 | 0 | 0 |
| bcn_liverpool_2 | 0 | 2 | 1,015 | 2 | 2 | 0,544 | 1 | 3 | 0 | 0 | 0 |
| bcn_milan_1 | 0 | 3 | 1,834 | 2 | 2 | 0,541 | 1 | 3 | 0 | 0 | 0 |
| bcn_milan_2 | 0 | 2 | 1,683 | 2 | 2 | 0,568 | 1 | 3 | 0 | 0 | 0 |
| bcn_zaragoza_1 | 0 | 4 | 1,908 | 2 | 2 | 0,728 | 1 | 3 | 0 | 0 | 0 |
| bcn_zaragoza_2 | 0 | 4 | 1,629 | 2 | 2 | 0,487 | 1 | 2 | 0 | 0 | 0 |
| milan_bcn_parte_1 | 0 | 1 | 1,6 | 2 | 2 | 0,516 | 1 | 2 | 0 | 0 | 0 |
| milan_bcn_parte_2 | 0 | 2 | 1,739 | 2 | 2 | 0,689 | 1 | 3 | 0 | 0 | 0 |
| racing_bcn_1 | 0 | 4 | 1,452 | 1 | 1 | 0,506 | 1 | 2 | 0 | 0 | 0 |
| racing_bcn_2 | 0 | 2 | 1,242 | 1 | 1 | 0,432 | 1 | 2 | 0 | 0 | 0 |
| madrid_bcn_1 | 0 | 4 | 1,863 | 2 | 2 | 0,684 | 1 | 3 | 0 | 0 | 0 |
| madrid_bcn_2 | 0 | 2 | 2,037 | 2 | 2 | 0,613 | 1 | 3 | 0 | 0 | 0 |
| rsecciedad_bcn_1 | 0 | 3 | 1,699 | 2 | 2 | 0,557 | 1 | 3 | 0 | 0 | 0 |
| rsecciedad_bcn_2 | 1 | 0 | 4 | 1,616 | 2 | 0,574 | 1 | 3 | 0 | 0 | 0 |

Figura 2e. Pantalla del programa Thème en la cual se muestran los valores de diversos parámetros descriptivos de cada una de las partes de todos los partidos.

| DATANAME | d2_median | d2_mode | d2_std | d2_min | d2_max | p_mean | p_median | p_mode | p_std | p_min | p_max |
|------------------------|-----------|---------|----------|--------|--------|-------------|------------|-----------|--------------|-----------|-----------|
| aeik_bcn_1_ | 489 | 135 | 732,007 | 46 | 3481 | 0,001886867 | 0,0011986 | 0,0022418 | 0,001430027 | 0,0000002 | 0,0048899 |
| aeik_bcn_2_ | 443 | 135 | 637,828 | 46 | 3274 | 0,001612326 | 0,001198 | 0,0018917 | 0,001489669 | 0,0000002 | 0,0048899 |
| bcn_atletico Madrid_1_ | 332 | 671 | 469,932 | 37 | 2288 | 0,001201114 | 0,0006712 | 0,0000002 | 0,001389432 | 0 | 0,0045729 |
| bcn_atletico Madrid_2_ | 362 | 69 | 659,807 | 69 | 4295 | 0,001019959 | 0,0002867 | 0,0000272 | 0,001426954 | 0,0000003 | 0,0045251 |
| bcn_inter_1_ | 271 | 158 | 475,102 | 41 | 1719 | 0,0009933 | 0,0002600 | 0,0000002 | 0,001334827 | 0,0000002 | 0,0046233 |
| bcn_inter_2_ | 343 | 140 | 465,663 | 65 | 2923 | 0,00131613 | 0,0008452 | 0 | 0,001472297 | 0 | 0,0043559 |
| bcn_liverpool_1_ | 644 | 152 | 901,500 | 100 | 4157 | 0,001931740 | 0,00149635 | 0,0003791 | 0,0015234409 | 0,0000047 | 0,0049660 |
| bcn_liverpool_2_ | 217 | 136 | 509,449 | 55 | 1696 | 0,001186197 | 0,0004673 | 0 | 0,001365524 | 0 | 0,0042114 |
| bcn_milan_1_ | 240 | 301 | 542,941 | 34 | 2997 | 0,001174921 | 0,0004208 | 0,0000001 | 0,001502744 | 0 | 0,0049613 |
| bcn_milan_2_ | 563,5 | 69 | 606,598 | 69 | 2063 | 0,001221836 | 0,0007645 | 0,0000004 | 0,001412518 | 0,0000004 | 0,0045992 |
| bcn_zaragoza_1_ | 494 | 144 | 672,222 | 24 | 3701 | 0,001447035 | 0,0007307 | 0 | 0,00151737 | 0 | 0,0049955 |
| bcn_zaragoza_2_ | 469,5 | 72 | 1015,267 | 40 | 4074 | 0,001344311 | 0,0007627 | 0,0001079 | 0,001407696 | 0 | 0,0044245 |
| milan_bcn_parte_1_ | 570,5 | 191 | 399,451 | 191 | 1518 | 0,00137912 | 0,0006359 | 0,0000652 | 0,001510478 | 0,0000053 | 0,0046042 |
| milan_bcn_parte_2_ | 949 | 100 | 929,662 | 100 | 4008 | 0,001889549 | 0,0002043 | 0,0000001 | 0,001526237 | 0,0000007 | 0,0044261 |
| racing_bcn_1_ | 517 | 929 | 981,864 | 113 | 3414 | 0,001601013 | 0,0003269 | 0,0000067 | 0,001544726 | 0,0000067 | 0,0046022 |
| racing_bcn_2_ | 310 | 219 | 521,849 | 36 | 2952 | 0,001352383 | 0,0006695 | 0 | 0,001560168 | 0 | 0,0046726 |
| realmadrid_bcn_1_ | 309 | 309 | 641,200 | 76 | 2963 | 0,001724029 | 0,0014405 | 0,0000102 | 0,001470292 | 0,000003 | 0,0047624 |
| realmadrid_bcn_2_ | 327 | 175 | 659,788 | 89 | 3693 | 0,001088374 | 0,0007664 | 0,0000003 | 0,001152716 | 0,0000003 | 0,003953 |
| rsociedad_bcn_1_ | 425 | 249 | 532,232 | 24 | 2149 | 0,001529891 | 0,0005990 | 0 | 0,001565793 | 0 | 0,0049807 |
| rsociedad_bcn_2_ | 335 | 161 | 891,23 | 55 | 3763 | 0,001331676 | 0,0009549 | 0,0000105 | 0,001371649 | 0,0000001 | 0,0047743 |

Figura 2f. Pantalla del programa Thème en la cual se muestran los valores de diversos parámetros descriptivos de cada una de las partes de todos los partidos.

La aplicación del programa Thème ha dado lugar a la obtención de T-Patterns para cada uno de las partes de los partidos, así como conjuntamente por partidos y por el conjunto de ellos. En la Tabla 5 se presenta el número de patrones obtenidos para cada partido y conjuntamente. Como ilustración, en las Figuras 4 y 5 se representa gráficamente el primer patrón correspondiente al primer tiempo de los partidos BCN-Liverpool y Milan-BCN.

Tabla 5. Número de T-Patterns obtenidos en cada parte de cada uno de los partidos y conjuntamente.

| Partido | Nº T-Patterns |
|---------------------|---------------|
| AEK-BCN | 66 |
| BCN-Atlético Madrid | 57 |
| BCN-Inter | 46 |
| BCN-Liverpool | 39 |
| BCN-Milan | 22 |
| BCN-Zaragoza | 69 |
| Milan-BCN | 23 |
| Racing-BCN | 66 |
| Real Madrid-BCN | 51 |
| Real Sociedad-BCN | 68 |
| Todos los partidos | 68 |

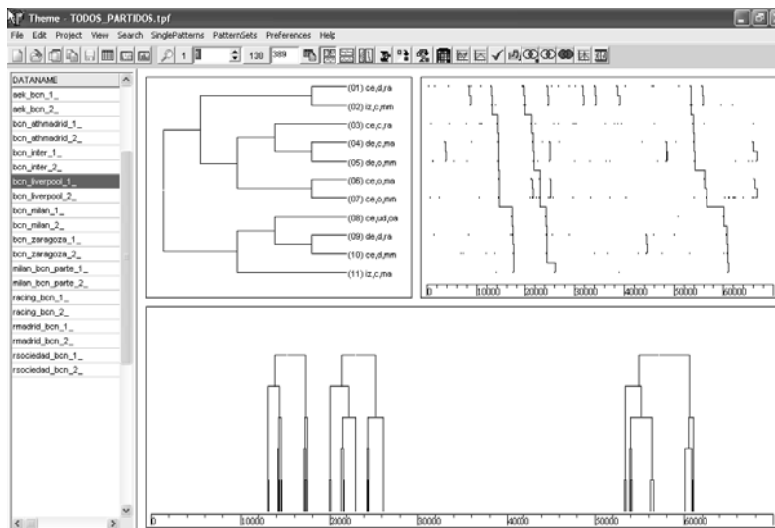


Figura 4. T-Pattern nº 1 correspondiente a la primera parte del partido BCN-Liverpool.

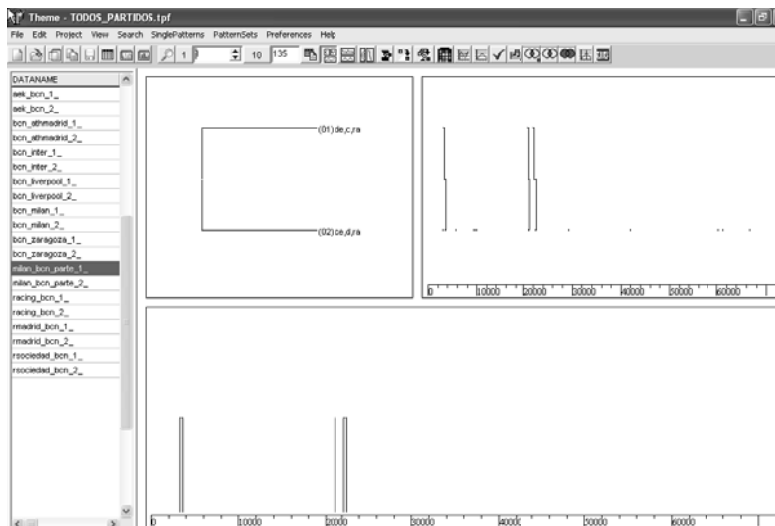


Figura 5. T-Pattern nº 1 correspondiente a la primera parte del partido Milan-BCN.

Cada uno de los patrones se puede representar no sólo gráficamente, sino desde su estructura algebraica, y cualquiera de ellas permiten interpretar el T-Pattern. Mostramos, como ejemplo, la estructura algebraica del patrón nº 7 correspondiente al partido BCN-Atlético Madrid, que es ce,d,ir,ra (ce,c,mm ce,o,ar). Ha ocurrido a lo largo de 2180 frames, y representa un 3 % de la duración del partido. Se interpreta como episodio que comienza con un inicio de posesión de balón en el carril central y zona defensiva, en presencia de un contexto de interacción retrasado-adelantado. A continuación, evoluciona la jugada avanzando por el mismo carril central hasta la zona central, presentándose un contexto de interacción medio-medio, para terminar en la zona ofensiva del mismo carril, y en un contexto de interacción adelantado-retrasado.

El análisis de los registros revela un elevado número de patrones temporales (Magnusson, 1996, 2000; Borrie, Jonsson, & Magnusson, 2001, 2002), cumpliéndose los requisitos de ocurrencia de un mínimo de 3 co-ocurrencias, y $p < 0.005$. En línea con estudios previos, se comprueba como en el fútbol se detectan un gran número de patrones temporales. El número, frecuencia y complejidad de los patrones detectados indican que en deportes de equipo como el fútbol la conducta es mucho más sincronizada que lo que cree detectar el ojo humano, mostrándose la existencia de determinadas regularidades de comportamiento. Esta sincronía aparece a diferentes niveles, con estructuras temporales variables, extendiéndose a lo largo del tiempo de forma cíclica y acíclica.

En el análisis conjunto efectuado, que implica considerar la totalidad de los partidos, hemos juzgado interesante presentar en la Tabla 6 la estructura algebraica de los 68 patrones obtenidos, así como la representación gráfica del primero de ellos en la Figura 7. La estructura y parámetros de este primer patrón se muestran en la Tabla 7.

Pattern Terminal String

 $(ce,o,am (ce,o,mm ((ce,d,ir,mm ce,ud,ra)(ce,c,ir,mm dc,c,mm))))$

Occurrences=3 Length=6 Duration=16571 %Duration=24

Critical interval parameters

| CritInt | C1 | C2 | C3 | C4 | C5 |
|---------|-----------|-----------|-----------|-----------|------|
| p= | 0,0034132 | 0,0002495 | 0,0029066 | 0,0042574 | 8E-7 |
| d1= | 0 | 0 | 0 | 0 | 0 |
| d2= | 3763 | 626 | 1163 | 3058 | 161 |
| cpnf= | 1,00 | 0,27 | 0,50 | 1,00 | 0,57 |

Occurrence Times

| Sample | Occur | L1 | L2 | L3 | L4 | L5 | L6 |
|--------|-------|-------|-------|-------|-------|-------|-------|
| 1 | 1 | 5666 | 5861 | 6480 | 7643 | 10666 | 10753 |
| 1 | 2 | 19069 | 22832 | 23432 | 23768 | 26826 | 26862 |
| 1 | 3 | 29346 | 29537 | 30163 | 30812 | 32902 | 33034 |

Internal Intervals

| Sample | Occur | I1 | I2 | I3 | I4 | I5 |
|--------|-------|------|-----|------|------|-----|
| 1 | 1 | 195 | 619 | 1163 | 3023 | 87 |
| 1 | 2 | 3763 | 600 | 336 | 3058 | 36 |
| 1 | 3 | 191 | 626 | 649 | 2090 | 132 |

Interval Statistics

| Stats | Stat1 | Stat2 | Stat3 | Stat4 | Stat5 |
|-----------|---------|--------|--------|---------|-------|
| Min | 191 | 600 | 336 | 2090 | 36 |
| Max | 3763 | 626 | 1163 | 3058 | 132 |
| Mean | 1383,00 | 615,00 | 716,00 | 2723,67 | 85,00 |
| Median | 191,00 | 619,00 | 649,00 | 3023,00 | 87,00 |
| Mode | 191,00 | 600,00 | 336,00 | 2090,00 | 36,00 |
| StdDev | 2061,14 | 13,45 | 417,55 | 549,05 | 48,03 |
| Max-Min+1 | 3573 | 27 | 828 | 969 | 97 |

Figura 6. Estructura y parámetros del T-Pattern nº 1 correspondiente al conjunto de todos los partidos (ver representación gráfica en la Figura 6).

Tabla 6. Relación de las estructuras de los 68 T-patterns correspondientes al conjunto todos los partidos.

| Nº orden | TODOS_PARTIDOS | Duración | Longitud | % duración |
|----------|--|----------|----------|------------|
| 1 | (ce,o,am (ce,d,ir,mm ce,ud,ra) (ce,c,ir,mm de,c,mm))) | 16571 | 6 | 24 |
| 2 | (de,d,ra ((ce,d,mm ce,c,mm)(ce,c,am ce,ud,ra))) | 11231 | 5 | 16 |
| 3 | ((ce,d,mm de,c,mm)(de,d,ra ce,o,mm)) | 3024 | 4 | 4 |
| 4 | ((ce,d,mm de,d,mm)(de,c,mm ce,c,mm)) | 2459 | 4 | 4 |
| 5 | ((ce,d,ra ce,d,mm)(ce,c,mm iz,c,mm)) | 3280 | 4 | 5 |
| 6 | (ce,c,ma (ce,d,mm (ce,c,mm ce,o,mm))) | 4620 | 4 | 7 |
| 7 | (ce,d,mm (de,d,mm ce,c,ma)) | 2509 | 3 | 4 |
| 8 | (de,d,ra (de,c,mm de,o,mm)) | 593 | 3 | 1 |
| 9 | (ce,d,mm (de,c,mm ce,c,mm)) | 3121 | 3 | 5 |
| 10 | (ce,d,ra (de,c,mm de,d,ra)) | 1183 | 3 | 2 |
| 11 | (ce,d,ra (de,d,ra ce,o,mm)) | 2103 | 3 | 3 |
| 12 | (ce,d,mm (de,d,mm ce,c,mm)) | 2902 | 3 | 4 |
| 13 | (ce,d,mm (iz,c,mm iz,o,mm)) | 1889 | 3 | 3 |
| 14 | (ce,c,ir,mm (ce,d,ra de,c,mm)) | 1828 | 3 | 3 |
| 15 | (ce,d,ma (ce,d,ra ce,c,ra)) | 3952 | 3 | 6 |
| 16 | (ce,d,ir,ra (iz,d,ra ce,d,ra)) | 1837 | 3 | 3 |
| 17 | (ce,c,ir,mm (ce,d,mm de,c,mm)) | 2476 | 3 | 4 |
| 18 | (ce,d,mm (ce,c,mm iz,o,mm)) | 1818 | 3 | 3 |
| 19 | (ce,d,mm (ce,c,mm iz,c,mm)) | 1819 | 3 | 3 |
| 20 | (ce,d,mm (ce,c,mm de,c,mm)) | 1297 | 3 | 2 |
| 21 | (ce,d,ra (de,d,ra de,c,mm)) | 1282 | 3 | 2 |
| 22 | ((ce,d,mm de,c,mm) iz,o,mm) | 2692 | 3 | 4 |
| 23 | ((ce,d,mm ce,c,mm) de,c,mm) | 672 | 3 | 1 |
| 24 | (iz,d,ra (ce,d,ra de,c,ra)) | 2038 | 3 | 3 |
| 25 | ((ce,d,ra de,d,ra) iz,c,ra) | 2396 | 3 | 3 |
| 26 | ((iz,d,ra ce,d,ra) de,c,ra) | 1516 | 3 | 2 |
| 27 | (ce,d,fp (iz,c,mm iz,o,fd)) | 4383 | 3 | 6 |
| 28 | ((ce,d,mm iz,c,mm) de,o,ar) | 4177 | 3 | 6 |
| 29 | (ce,d,ra (iz,c,mm iz,d,ra)) | 1577 | 3 | 2 |
| 30 | (ce,d,ra (iz,c,mm de,c,ra)) | 2256 | 3 | 3 |
| 31 | (ce,d,ra (de,d,ra iz,c,mm)) | 1633 | 3 | 2 |
| 32 | (de,c,ma (iz,d,mm iz,c,mm)) | 4358 | 3 | 6 |
| 33 | (iz,d,mm (iz,d,ra ce,d,ra)) | 2151 | 3 | 3 |
| 34 | (de,d,ra (ce,c,mm iz,c,mm)) | 520 | 3 | 1 |
| 35 | (de,c,mm (de,d,ra ce,o,mm)) | 1382 | 3 | 2 |
| 36 | (iz,o,mm iz,c,mm) | 133 | 2 | 0 |
| 37 | (ce,d,ra de,c,mm) | 1212 | 2 | 2 |
| 38 | (ce,d,ra de,d,ma) | 931 | 2 | 1 |
| 39 | (ce,d,mm iz,o,mm) | 2353 | 2 | 3 |
| 40 | (ce,d,ra ce,c,mm) | 539 | 2 | 1 |
| 41 | (ce,ud,iflp,oa de,c,ma) | 1581 | 2 | 2 |
| 42 | (de,c,ma ce,c,ma) | 756 | 2 | 1 |
| 43 | (ce,d,ra de,d,ra) | 1735 | 2 | 3 |
| 44 | (ce,o,mm ce,o,fp) | 184 | 2 | 0 |
| 45 | (ce,c,mm iz,c,mm) | 698 | 2 | 1 |
| 46 | (ce,c,mm iz,o,mm) | 582 | 2 | 1 |
| 47 | (ce,c,mm ce,c,fp) | 498 | 2 | 1 |
| 48 | (ce,c,mm ce,o,mm) | 599 | 2 | 1 |
| 49 | (ce,d,mm de,c,mm) | 3939 | 2 | 6 |
| 50 | (ce,d,mm de,o,mm) | 1468 | 2 | 2 |
| 51 | (ce,d,ma iz,o,mm) | 774 | 2 | 1 |
| 52 | (ce,d,mm ce,c,mm) | 954 | 2 | 1 |
| 53 | (de,c,ma de,d,ma) | 1192 | 2 | 2 |
| 54 | (de,o,mm ce,o,mm) | 1343 | 2 | 2 |
| 55 | (iz,c,mm iz,o,mm) | 1040 | 2 | 2 |
| 56 | (de,d,ra de,c,mm) | 576 | 2 | 1 |
| 57 | (de,d,ra iz,c,mm) | 767 | 2 | 1 |
| 58 | (iz,d,ra ce,d,ra) | 353 | 2 | 1 |
| 59 | (iz,d,ra de,c,ra) | 1670 | 2 | 2 |
| 60 | (iz,d,mm iz,c) | 4169 | 2 | 6 |
| 61 | (iz,d,mm iz,d,ra) | 1527 | 2 | 2 |
| 62 | (de,c,mm de,d,ra) | 739 | 2 | 1 |
| 63 | (de,d,ir,ra de,o,ar) | 4083 | 2 | 6 |
| 64 | (de,c,ma iz,ud,ar) | 2060 | 2 | 3 |
| 65 | (de,c,mm ce,c,mm) | 859 | 2 | 1 |
| 66 | (de,d,ra ce,c,mm) | 412 | 2 | 1 |
| 67 | (de,d,ra ce,o,mm) | 1189 | 2 | 2 |
| 68 | (de,d,mm ce,c,mm) | 861 | 2 | 1 |
| 69 | (de,d,mm de,c,mm) | 478 | 2 | 1 |

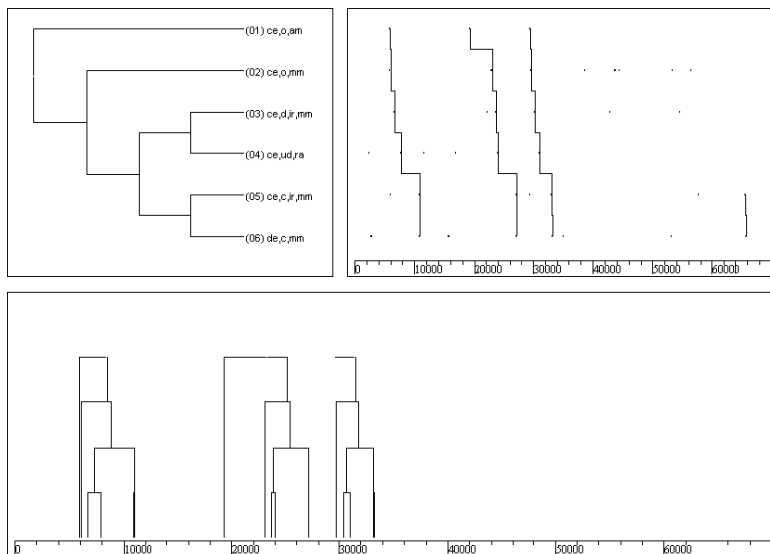


Figura 7. Representación del T-Pattern nº 1 correspondiente al conjunto de todos los partidos (ver estructura y parámetros en la Figura 6).

Este patrón ha ocurrido durante 16571 frames y representa un 24 % de la duración del conjunto de todos los partidos.

Discusión

El SOF-5 ha demostrado ser un instrumento de observación potente para el estudio de las relaciones entre los contextos de interacción y los criterios de temporalidad, zona, inicios de posesión de balón y finales de posesión de balón. Asimismo, el Match Vision Studio permitió efectuar un registro satisfactorio, obteniéndose la matriz de todas las co-ocurrencias producidas.

Se demuestra en este trabajo la gran potencialidad que presenta el planteamiento de un diseño observacional N/P/M con la obtención de los T-Patterns. Su identificación no es posible de forma directa ni por inferencia visual, y ha sido necesario efectuar este análisis de detección mediante el Thème para que podamos conocer las

regularidades que se presentan en situaciones de elevada complejidad como es un partido de fútbol.

Los resultados obtenidos muestran la relevancia del análisis efectuado, así como su potencialidad para lograr una mejor comprensión del juego del fútbol, en línea con trabajos anteriores (Anguera & Jonsson, 2002, 2003; Jonsson, Bjarkadottir, Gislason, Borrie & Magnusson, 2003; Anguera, Jonsson, Magnusson, Losada & Blanco-Villaseñor, 2004; Jonsson, Anguera, Blanco-Villaseñor, Losada, Hernández-Mendo, Ardá, Camerino & Castellano, *in press*), y siempre con el objetivo final de trabajar en pos de una optimización del rendimiento.

Agradecimientos

Este trabajo forma parte de la investigación Avances tecnológicos y metodológicos en la automatización de estudios observacionales en deporte que ha sido subvencionado por la Dirección General de Investigación, Ministerio de Ciencia e Innovación (PSI2008-01179), durante el trienio 2008-2011.

Referencias

- Anguera, M.T. (2003). Observational Methods (General). In R. Fernández-Ballesteros (Ed.), Encyclopedia of Psychological Assessment, Vol. 2 (pp. 632-637). London: Sage.
- Anguera, M.T. (2005). Microanalysis of T-patterns. Analysis of symmetry/asymmetry in social interaction. In L. Anolli, S. Duncan, M. Magnusson & G. Riva (Eds.), The hidden structure of social interaction. From Genomics to Culture Patterns (pp. 51-70). Amsterdam: IOS Press.
- Anguera, M.T. & Ardá, T. (2003, August). Hidden patterns in seven-a-side football: how do children interact during play? XI European Conference on Developmental Psychology, Milan, Italy.

Anguera, M.T., Blanco-Villaseñor, A. & Losada, J.L. (2001). Diseños Observacionales, cuestión clave en el proceso de la metodología observacional. *Metodología de las Ciencias del Comportamiento*, 3 (2), 135-161.

Anguera, M.T., Blanco-Villaseñor, A., Losada, J.L., Ardá, T., Camerino, O., Castellano, J., & Hernández-Mendo, A. (2000). Instrumento de codificación y registro de la acción de juego en fútbol (SOF-1). *Revista Digital de Alto Rendimiento en Fútbol* (Universidad de Extremadura).

Anguera, M.T., Blanco-Villaseñor, A., Losada, J.L., Ardá, T., Camerino, O., Castellano, J., Hernández-Mendo, A., & Jonsson, G.K. (2003). Match & player analysis in soccer: Computer coding and analytic possibilities. *International Journal of Computer Science in Sport (e-Journal)*, 2 (1), 118-121.

Anguera, M.T., Blanco-Villaseñor, A., Losada, J.L., Ardá, T., Camerino, O., Castellano, J., Hernández-Mendo, A., & Jonsson, G.K. (2004, March). SOF-4: Instrumento de registro y codificación en el fútbol. Presentación Multimedia. II Congreso Internacional de Actualización en Psicología del Deporte. Buenos Aires, Argentina.

Anguera, M.T. & Jonsson, G.K. (2002, June). Detection of real-time patterns in sports: Interactions in football. Third Meeting of the European Research Group on "Methodology for the analysis of social interaction". Milan, Italy.

Anguera, M.T. & Jonsson, G.K. (2003). Detection of real-time patterns in sport: Interactions in football. *International Journal of Computer Science in Sport (e-Journal)*, 2 (2), 118-121.

Anguera, M.T., Jonsson, G.K., Magnusson, M., Losada, J.L., & Blanco-Villaseñor, A. (2004, June). Variability of temporal patterns intra-team and between teams in football. Fourth Meeting of European Research Group Methodology for the analysis of social interaction. Barcelona, Spain.

Appleby, B. & Dawson, B. (2002). Video analysis of selected game activities in Australian rules football. *Journal of Science & Medicine in Sport*, 5 (2), 129-142.

Assfalg, J., Bertini, M., Colombo, C., Del Bimbo, A. & Nunziati, W. (2003). Semantic annotation of soccer videos: automatic highlights identification. *Computer Vision and Image Understanding*, 92 (2-3), 285-305.

Blanco-Villaseñor, A. (1993). Fiabilidad, precisión, validez y generalización de los diseños observacionales. In M.T. Anguera (Ed.) Metodología observacional en la investigación psicológica (pp. 149-261). Barcelona: P.P.U., Vol. II.

Blanco-Villaseñor, A. & Anguera, M.T. (2000). Evaluación de la calidad en el registro del comportamiento: Aplicación a deportes de equipo. In E. Oñate, F. García-Sicilia, & L. Ramallo (Eds.), Métodos Numéricos en Ciencias Sociales (pp. 30-48). Barcelona: Centro Internacional de Métodos Numéricos en Ingeniería.

Blanco-Villaseñor, A., Castellano, J., Hernández-Mendo, A., Anguera, M.T., Losada, J.L., Ardá, A., & Camerino, O. (2006, in press). Observación y registro de la interacción en el fútbol. In J. Castellano, L.M. Sautu, A. Hernández-Mendo, A. Blanco-Villaseñor, A. Goñi & F. Martínez (Eds.), Socialización y deporte: Revisión crítica. Vitoria-Gasteiz, Spain: Diputación Foral de Álava / Arabako Foru Aldundia.

Bloomfield, J., Jonsson, G.K., Polman, R., Houlahan, K., & O'Donoghue, P. (2005). Temporal patterns analysis and its applicability in soccer. In L. Anolli, S. Duncan, M. Magnusson & G. Riva (Eds.), The hidden structure of social interaction. From Genomics to Culture Patterns (pp. 237-251). Amsterdam: IOS Press.

Borrie, A., Jonsson, G.K., & Magnusson, M.S. (2001). Application of T-pattern detection and analysis in sports research. *Metodología de las Ciencias del Comportamiento*, 3 (2), 215-226.

Borrie, A., Jonsson, G.K., & Magnusson, M.S. (2002). Temporal pattern analysis and its applicability in sport: An explanation and exemplar data. *Journal of Sports Sciences*, 20, 845-852.

Castellano, J. (2000). Observación y análisis de la acción de juego en el fútbol. Unpublished Doctoral Thesis. Vitoria, Spain: Universidad del País Vasco.

Cerveri, P., Pedotti, A. & Ferrigno, G. (2003). Robust recovery of human motion from video using Kalman filters and virtual humans. *Human Movement Science*, 22, 377-404.

Davids, K., Araújo, D. & Shuttleworth, R. (2005). Applications of dynamical systems theory to football. In J. Cabri, T. Reilly & D. Araújo (Eds.), *Science and football V*. London: Routledge.

Intille, S.S. & Bobick, A.F. (2001). Recognizing planned, multi-person action. *Computer Vision and Image Understanding*, 81 (3), 414-445.

Jonsson, G.K. (2006, in press). SOF-CODER. Technological and Multimedia System for Recording Data in Soccer. In J. Castellano, L.M. Sautu, A. Hernández-Mendo, A. Blanco-Villaseñor, A. Goñi & F. Martínez (Eds.), Socialización y deporte: Revisión crítica. Vitoria-Gasteiz, Spain: Diputación Foral de Álava / Arabako Foru Aldundia.

Jonsson, G.K., Anguera, M.T., Blanco-Villaseñor, A., Losada, J.L., Hernández-Mendo, A., Ardá, T., Camerino, O. & Castellano, J. (in press). Hidden patterns of play interaction in soccer using SOF-CODER. Behavior Research Methods, Instruments & Computers.

Jonsson, G.K., Bjarkadottir, S.H., Gislason, B., Borrie, A., & Magnusson, M.S. (2003). Detection of real-time patterns in sports: interactions in football. In C. Baudoin (Ed.), *L'éthologie appliquée aujourd'hui* (Applied Ethology Today), Volume 3 - Ethologie humaine. Levallois-Perret, France: Editions ED.

Luo, Y., Wu, T.-P. & Hwang, J.-N. (2003). Object-based analysis and interpretation of human motion in sports video sequences by dynamic bayesian networks. *Computer Vision and Image Understanding*, 92, 196-216.

Magnusson, M.S. (1996). Hidden real-time patterns in intra- and inter-individual behavior. *European Journal of Psychological Assessment*, 12 (2), 112-123.

Magnusson, M.S. (2000). Discovering hidden time patterns in behavior: T-patterns and their detection. *Behavior Research Methods, Instruments, & Computers*, 32 (1), 93-110

Norton, K.I., Craig, N.P. & Olds, T.S. (1999). The evolution of Australian football. *Journal of Science & Medicine in Sport*, 2 (4), 389-404.

Perea, A., Alday, L., & Castellano, J. (2004). Software para la observación deportiva Match Vision Studio. III Congreso Vasco del Deporte. Socialización y Deporte / Kirolaren III Euskal Biltzarra. Sozializazioa era Virola. Vitoria.

Xie, L., Xu, P., Chang, S., Divakaran,A. & Sun, H. (2004). Structure analysis of soccer video with domain knowledge and hidden Markov models. *Pattern Recognition Letters*, 25, 767-775.